

ساخت نانوذرات BiVO_4 به روش همروسوبی و بررسی ویژگی‌های ساختار بلوری، اپتیکی و فوتوكاتالیزوری آنها

نسرین قزکوب^۱، مرتضی زرگرشوشتی^{*}^۱، ایرج کاظمی‌نژاد^۱، سید محمد لاری بقال^۲

۱- گروه فیزیک، دانشکده علوم، دانشگاه شهید چمران اهواز، ایران

۲- گروه مهندسی مواد، دانشکده مهندسی، دانشگاه شهید چمران اهواز، ایران

(دریافت مقاله: ۹۸/۹/۴، نسخه نهایی: ۹۸/۱۱/۳۰)

چکیده: در این پژوهش، نانوذرات وانادات بیسموت (BiVO_4) به روش همروسوبی در دمای تکلیس 600°C درجه سانتی‌گراد ساخته شدند. برای مشخصه‌یابی نانوذرات از پراش پرتو ایکس، میکروسکوپ الکترونی روبشی گسیل میدانی، طیف‌نگاری پراکندگی انرژی پرتو ایکس، طیف‌سنجی تبدیل فوریه فرودخ و طیف‌سنجی جذبی مرئی - فرابینفش استفاده شد. الگوی پراش پرتو ایکس تأیید‌کننده ساختار تکمیل این نانوذرات است. بررسی جذب مرئی - فرابینفش ماده نشان داد که گاف نواری اپتیکی آن در گستره نور مرئی قرار دارد. فعالیت فوتوكاتالیزوری نانوذرات توسط تجزیه فوتوكاتالیزوری رنگ قرمز کنگو زیر تابش نور مرئی بررسی شد. بر پایه نتایج به دست آمده، این ماده گزینه مناسبی برای تجزیه مواد آلی با نور خورشید است.

واژه‌های کلیدی: نانوذرات وانادات بیسموت؛ BiVO_4 ؛ همروسوبی؛ ساختار بلوری؛ فوتوكاتالیزوری.

فعالیت این ماده در نور مرئی منتشر شد [۴]. فاز چارگوشی با گاف انرژی حدود 2.9 eV الکترون ولت دارای یک نوار جذب در ناحیه فرابینفش است، در حالی که فاز تکمیل با گاف حدود 2.3 eV الکترون ولت افزون بر جذب در ناحیه فرابینفش، در ناحیه مرئی نیز جذب دارد [۵]. بر اساس گزارش‌ها، از میان سه فاز بلوری وانادات بیسموت، فاز تکمیل به‌دلیل اندازه گاف کوچک‌تر و بیشینه طول موج جذب در 515 nm ، بهترین فعالیت فوتوكاتالیزوری را داراست [۶، ۷].

BiVO_4 به روش‌های مختلفی ساخته شده است. اغلب، فاز تکمیل در دماهای بالا و فاز چارگوشی در محیط آبی و در دماهای پایین به‌دست می‌آید [۵]. فاز تکمیل با روش‌هایی مانند سلیل [۸]، گرمایی [۹]، همروسوبی [۱۰] و احتراقی [۱۱] ساخته شده است. به‌منظور افزایش سطح فعل این فوتوكاتالیزور و بهبود فعالیت فوتوكاتالیزوری، ساخت ریخت‌های

مقدمه

در دهه‌های گذشته، پژوهش‌های مهمی پیرامون فوتوكاتالیزورها انجام شده است. این مواد در زمینه‌های زیست محیطی مانند تخریب ترکیب‌های آلی برای تصفیه آب، میکروب‌کشی، تجزیه رنگ‌های صنعتی و حذف آلاینده‌های هوا کاربرد دارند [۱]. گسترش فوتوكاتالیزورهای فعل در نور مرئی و نور خورشید از نظر اقتصادی و زیست محیطی اهمیت فراوانی دارد. در میان فوتوكاتالیزورهای فعل در گستره نور مرئی، وانادات بیسموت (BiVO_4) به دلیل ویژگی قطبش ذاتی مطرح است. این قطبش از زوج الکترون‌های تراز انرژی $6s^2$ عنصر بیسموت ایجاد شده که باعث عدم ترکیب جفت الکترون- حفره تولید شده توسط تابش می‌شود [۲].

BiVO_4 در سه فاز بلوری شیلیت (scheelite) تکمیل، شیلیت چارگوشی و زیرکن (zircon) چارگوشی رشد می‌کند [۳]. نخستین بار در سال ۱۹۹۹ میلادی، گزارشی در مورد

*نویسنده مسئول، تلفن: ۰۹۱۶۳۱۰۸۷۷۰، نامبر: ۰۶۱۳۳۷۳۸۳۱۰، پست الکترونیکی: zargar@scu.ac.ir

به این ترتیب، ۰/۲۱ گرم بیسیمومت نیترات ۵ آبه، ۰/۱۵۶ گرم وانادیوم پنتوکسید و ۰/۲۱ گرم EDTA به ۳ میلی لیتر اسید سولفوریک و اسید نیتریک و ۴۰ میلی لیتر پراکسید هیدروژن اضافه شده و هم زده شدند تا محلولی یکددست با رنگ قهوه‌ای بسیار تیره به دست آید [۲۹]. سپس، pH محلول با آمونیاک به حدود ۹/۵ رسانده شد و محلول از قهوه‌ای بسیار تیره به زرد روشن و از حالت شفاف به حالت کلوپیدی تغییر کرد. کلوپید به دست آمده به مدت ۲ ساعت دیگر هم زده شد و پس از جداسازی با سانتریفیوژ و ۳ بار شستشو با آب یون‌زدایی شده و ۲ بار شستشو با الکل، در آون در دمای ۶۰ درجه سانتی‌گراد برای ۲۴ ساعت خشک شد. سپس، این ماده به مدت ۶ ساعت در دمای ۶۰۰ درجه سانتی‌گراد کلسینه گردید. مشخصه‌یابی ساختاری ذرات با پراش‌سنج پرتو ایکس (XRD) مدل ۱۸۴۰ PW ساخت شرکت فیلیپس با تابش CuK α به طول موج ۱/۵۴۱۸ آنگستروم در گستره زاویه‌ای ۱۰ تا ۹۰ درجه انجام شد. ریختار آنها با میکروسکوپ الکترونی روبشی گسیل میدانی (FESEM) مدل SIGMA VP ساخت شرکت زایس کشور آلمان بررسی شد. ترکیب و پیوندهای شیمیابی ماده به ترتیب با طیفسنج پراکنده‌ی اнерژی پرتو TESCAN (EDS) مدل MTRA III ساخت شرکت VERTEX 70 (FTIR) مدل VERTEX 70 ساخت شرکت Bruker کشور آلمان شناسایی گردید. سرانجام، ویژگی‌های اپتیکی ماده تهیه شده با طیفسنج جذبی مرئی-فرابنفش (UV-Vis) مدل Photonix Ar (P. P CO. Ltd)

نتایج و بحث پراش پرتو ایکس

الگوی پراش پرتو ایکس ماده به کمک نرم‌افزار High Score X-pert Plus به شماره JCPDS ۱۰-۷۵-۱۸۶۶ بررسی شد (شکل ۱). الگوی پراش با کارت قله اضافی نشانگر فاز ناخالصی دیده نشد. اندازه بلورک‌ها (D) با استفاده از رابطه شرطی دست آمد:

$$D = \frac{0.9 \lambda}{8 \cos \theta} \quad (2)$$

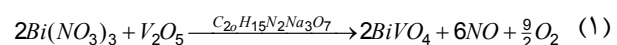
در اینجا، λ طول موج پرتو ایکس (۱/۵۴۱۸ Å)، θ زاویه پراش و β پهنه‌ای قله در نیمار تنقای بیشینه (FWHM) است. اندازه بلورک‌های برآورد شده به همراه ثابت‌های شبکه (a، b و c)، زاویه θ و حجم یاخته یکه در جدول ۱ آورده شده است.

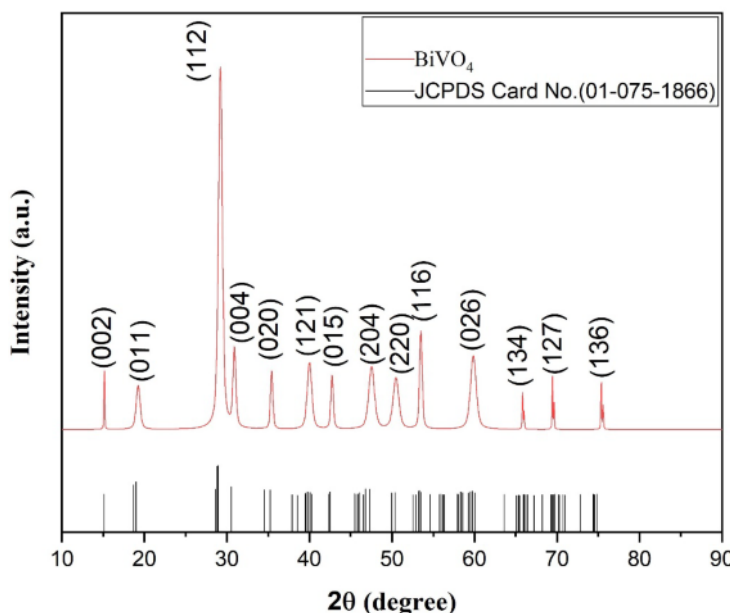
مختلف آن مثل گل-مانند [۱۲]، پوسته-پوسته‌ای (flake-ball) [۱۳]، مکعب-مانند و صفحه-مانند [۱۴] گزارش شده است، ولی بسیاری از این روش‌ها منجر به وانادات بیسیمومت با بلورینگی بالا و سطح بزرگ مناسب برای افزایش فعالیت فوتوكاتالیزوری نمی‌شود [۱۵، ۱۶]. از این‌رو، به منظور افزایش مساحت سطح و بهبود فعالیت فوتوكاتالیزوری فاز تک میل وانادات بیسیمومت، از قالب‌ها و روکنشگرهایی چون سیلیکا (CTAB) [۱۷]، ستیل تری‌متیل آمونیم برمید (KIT-6) [۱۸]، کربوکسی متیل سلولز (CMC) [۱۹] و اتیلن دی‌آمین تتراستیک اسید (EDTA) [۲۰] به عنوان عامل جهت‌دهنده ساختاری، کنترل کننده شکل و اندازه نانوذرات استفاده شده است. همچنانی پژوهش‌هایی از قبیل استفاده از بلورهای وانادات بیسیمومت در تصفیه آب و تولید هیدروژن [۲۱]، استفاده از لایه‌های وانادات بیسیمومت در تجزیه آب توسط نور خورشید [۲۲] و بهره‌گیری از فعالیت فوتوكاتالیزوری وانادات بیسیمومت در حذف اسید نارنجی ۱۰ از محلول‌های آبی [۲۳] داخل کشور انجام شده است.

پژوهش‌هایی پیرامون بهبود فعالیت فوتوكاتالیزوری وانادات بیسیمومت برای تجزیه رنگ قرمز کنگو زیر تابش نور مرئی انجام شده است. برخی از آنها به ساخت نانوکامپوزیت‌هایی از وانادات بیسیمومت چون BiVO₄/N-rGO [۲۴] و Au/BiVO₄ [۲۳]، WO₃/BiVO₄ [۲۵] پرداخته‌اند. در پژوهش‌های دیگر، ریخت‌های مختلفی از وانادات بیسیمومت مانند لایه نازک [۲۶]، ذرات با ساختار مزو/ماکرو متخلخل [۲۷] و نانوذرات (با استفاده از H₂O₂ برای بهبود فعالیت فوتوكاتالیزوری) [۲۸] ساخته شده‌اند. با توجه به فعالیت فوتوكاتالیزوری بسیار خوب فاز تکمیل وانادات بیسیمومت، در این پژوهش نانوذرات فاز خالص تکمیل وانادات بیسیمومت به روش هم‌رسوبی و در حضور EDTA (C₁₀H₁₅N₂Na₃O₇) ساخته شد؛ پس از مشخصه-یابی‌های ریخت‌شناسی، ساختاری و اپتیکی، فعالیت فوتوكاتالیزوری آنها توسط تجزیه رنگ قرمز کنگو زیر تابش نور مرئی بررسی شد.

روش آزمایش

برای ساخت وانادات بیسیمومت، مواد اولیه با عنصرسنجی مناسب بر اساس واکنش زیر انتخاب شدند:





شکل ۱ الگوی پراش پرتو ایکس وانادات بیسموت.

جدول ۱ اندازه متوسط بلورکها، ثابت های شبکه، زاویه θ و حجم یاخته یکه.

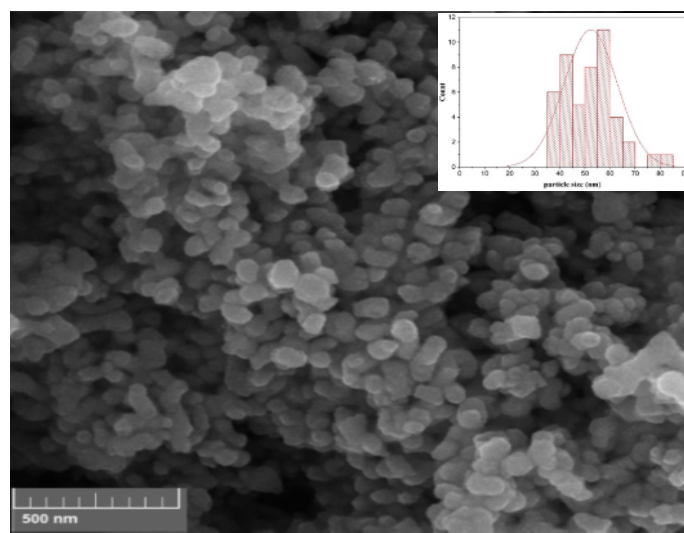
$V (\text{\AA}^3)$	$\gamma (\text{^\circ})$	$c (\text{\AA})$	$b (\text{\AA})$	$a (\text{\AA})$	اندازه بلورک (nm)
۳۰۳/۱۷	۹۰/۷۳	۱۱.۵۷	۵/۰۹	۵/۲۰	۳۱/۱۶

نانومتر به دست آمد.

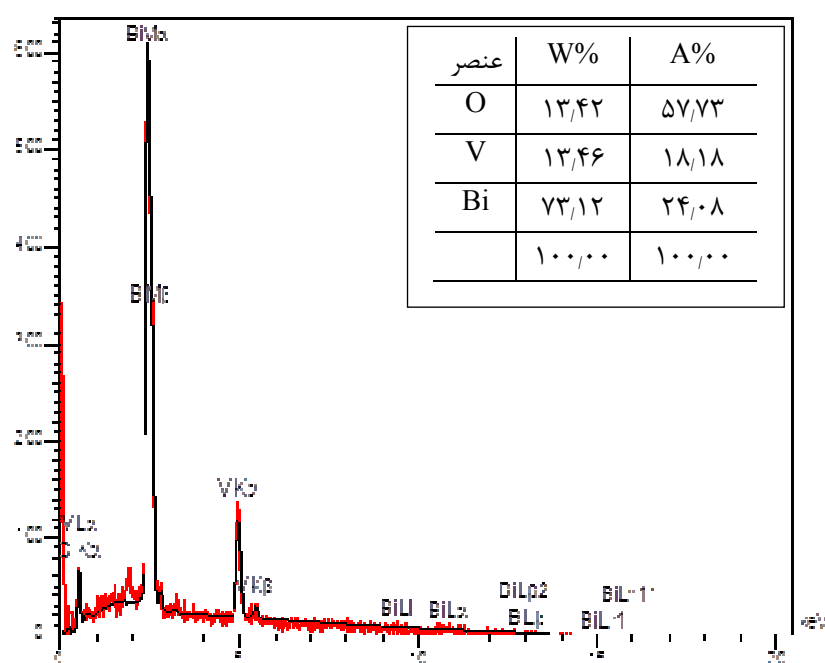
برای بررسی عناصر موجود در نمونه، تجزیه به روش EDS انجام شد (شکل ۳). با این طیف، حضور عناصر Bi، V و O مربوط به BiVO_4 تأیید شد و عنصر ناخالصی دیده نشد. بنابراین می‌توان گفت که نانوذرات تهیه شده تقریباً خالص هستند.

تصویر میکروسکوپ الکترونی روبشی گسیل میدانی

در شکل ۲ تصویر میکروسکوپ الکترونی روبشی گسیل میدانی از ماده نشان داده شده است. دیده می‌شود که نانوذرات وانادات بیسموت دارای شکل تقریباً کروی هستند و تمایل به تشکیل توده دارند. بر اساس این تصویر و با استفاده از نرم افزار دیجیمایزر (Digimizer)، متوسط اندازه نانوذرات ۵۲ ± ۴ nm



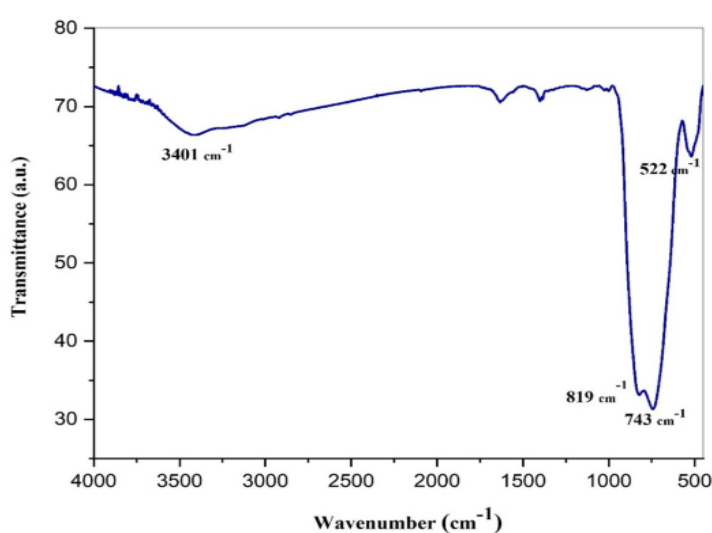
شکل ۲ تصویر FESEM وانادات بیسموت و توزیع اندازه ذرات درون آن.



شکل ۳ طیف EDS و انادات بیسموت و نتایج به دست آمده از آن:

به ارتعاش‌های کششی Bi-O، V-O و V-O در ساختار تکمیل و انادات بیسموت هستند [۳۰، ۳۱]. قله جذبی در حدود 1300 cm^{-1} به ارتعاش‌های کششی C-O و خمسی $-\text{CH}_2-$ نسبت داده می‌شوند. این ارتعاش‌های کربن مربوط به استفاده از روکنشگر EDTA هستند [۲۹]. البته، مقدار کربن کم است و قله مربوط به آن در الگوی XRD و طیف EDS دیده نمی‌شود.

طیف سنجی تبدیل فوریه فروسرخ شکل ۴ طیف تبدیل فوریه فروسرخ نانوذرات و اندادات بیسوموت را در گستره 400 cm^{-1} تا 4000 cm^{-1} نشان می‌دهد. قله جذبی در 3401 cm^{-1} مربوط به ارتعاش‌های کششی O-H است. همچنین، در حدود 1630 cm^{-1} ارتعاش‌های خمشی مولکول‌های H_2O جذب شده بر سطح ماده دیده می‌شود. قله‌های جذبی اصلی ماده در گستره 650 cm^{-1} تا 850 cm^{-1} ظاهر شده‌اند و یک قله نیز در 520 cm^{-1} وجود دارد که همه مربوط



شكل ٤ طيف FTIR وانادات بيسموت.

تهویه در راکتور فتوکاتالیزور مانع از افزایش دمای محلول گردید. مقدار ۶۰ میلی‌گرم از فتوکاتالیزور به ۱۰۰ میلی‌لیتر رنگ قرمز کنگو با غلظت ۲۰ mg/L اضافه شد. پیش از پرتودهی، این سوسپانسیون برای یک ساعت در تاریکی هم زده شد تا تعادل جذب و واجذب بین آلاینده و فتوکاتالیزور برقرار شود. طی پرتودهی هر ۱۵ دقیقه، ۵ میلی‌لیتر از سوسپانسیون برداشته شد و با استفاده از سانتیرفیوژ نانوذرات از محلول جدا شده و طیف جذبی UV-Vis آنها گرفته شد.

رنگ‌ها بدون حضور فتوکاتالیزور نیز در اثر تابش طولانی نور تجزیه می‌شوند؛ این فرآیند فوتولیز نامیده می‌شود. طی این فرآیند، ممکن است رنگ آلی به طور کامل به مواد بی‌ضرر تبدیل نشده و گاهی به مواد سمی‌تر تجزیه گردد. بهمنظور حذف اثر فوتولیز از فرآیند فتوکاتالیزوری، آزمایش فوتولیز UV-Vis رنگ قرمز کنگو نیز انجام شد. طیف‌های جذبی UV-Vis مربوط به عملکرد فتوکاتالیزوری وانادات بیسموت در شکل ۶ آورده شده‌اند.

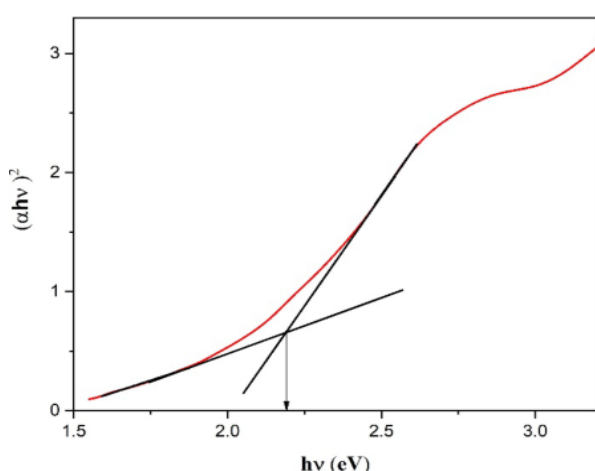
شکل ۷ میزان تجزیه رنگ قرمز کنگو توسط نانوذرات وانادات بیسموت را نشان می‌دهد. در این نمودار، C₀ و C به ترتیب نشان‌دهنده غلظت آلاینده در زمان t و غلظت اولیه آلاینده هستند. به دلیل ناچیز بودن اثر فوتولیز، این فرآیند در بررسی فتوکاتالیزوری در نظر گرفته نشد.

آنگ تجزیه فتوکاتالیزوری آلاینده (k) از رابطه زیر که

مدل سینتیکی مرتبه اول است، تعیین شد:

$$-\ln \frac{C}{C_0} = kt \quad (4)$$

$$-\ln \frac{C}{C_0} = kt$$



طیف‌سنجی مرئی - فرابنفش طیف جذبی UV-Vis وانادات بیسموت در شکل ۵ الف نشان داده شده است. این ماده یک نیمرسانا با گاف مستقیم است [۳۲]. بر اساس ضریب جذب نوری (α) و بهره‌گیری از رابطه تاک، انرژی گاف اپتیکی (E_g) به دست می‌آید:

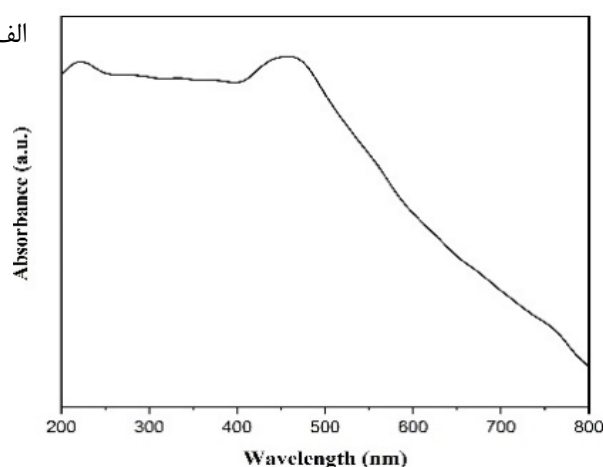
$$\alpha h\nu = A (h\nu - E_g)^{n/2} \quad (3)$$

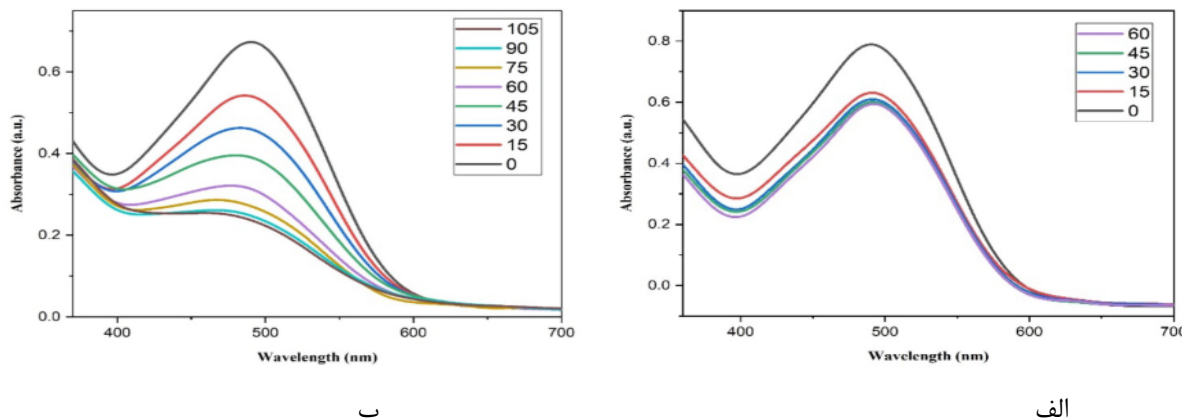
در این رابطه، hν انرژی فوتون‌های فرودی و A یک ثابت است. مقدار n بستگی به نوع گذار اپتیکی دارد و برای گاف مستقیم برابر با ۱ است. با بروز یابی ناحیه خطی نمودار ($\alpha h\nu$)² نسبت به انرژی فوتون فرودی (hν)، مقدار گاف اپتیکی به دست می‌آید [۳۳] (شکل ۵ ب). بر این اساس، گاف اپتیکی وانادات بیسموت ۲/۲ الکترون ولت برآورد شد. همچنین با استفاده از رابطه $E=hc/\lambda$. طول موج جذب بیشینه حدود ۵۶۳ nm به دست آمد که با نتایج مرجع [۳۴] همخوانی دارد.

بررسی ویژگی فتوکاتالیزوری

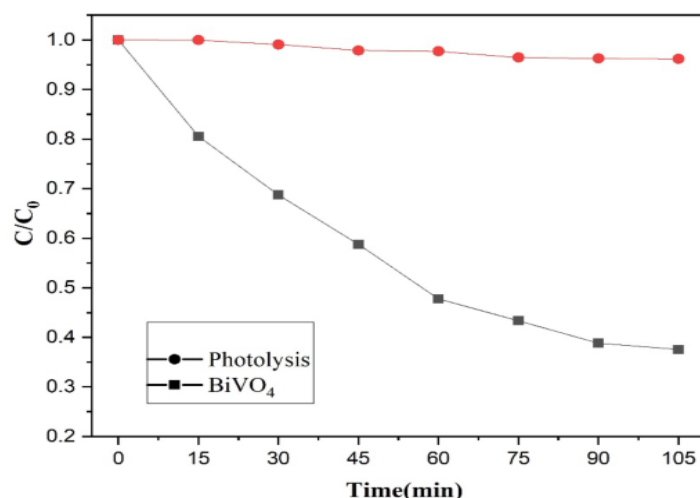
رنگ قرمز کنگو با فرمول مولکولی C₃₂H₂₂N₆Na₂O₆S₂ یک ترکیب مصنوعی است. یک مولکول این رنگ شامل دو مولکول اسید نفتیونیک و بنزیدین است که با دو گروه آزو (N=N) بهم متصل شده‌اند. بنزیدین بخش سمی رنگ قرمز کنگو است که باعث سلطان مثانه در انسان می‌شود. از این رنگ در صنایع نساجی (پارچه‌های کتانی) و کاغذ سازی (خمیر چوب و کاغذ) استفاده می‌شود [۳۵].

فعالیت فتوکاتالیزوری نانوذرات وانادات بیسموت در تجزیه رنگ قرمز کنگو زیر تابش نور مرئی بررسی شد. لامپ زنون با توان ۱۰۰ وات به عنوان منبع تابش استفاده گردید. سطح محلول در فاصله ۵ سانتی‌متری از لامپ تنظیم شد و وجود یک



شکل ۵ (الف) طیف جذب و (ب) نمودار $\alpha(hv)^2$ برای محاسبه گاف اپتیکی و اندادات بیسیموت

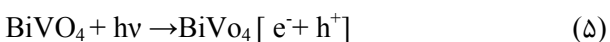
شکل ۶ (الف) کاهش غلظت رنگ قرمز کنگو طی آزمایش تاریکی و (ب) کاهش غلظت رنگ قرمز کنگو به صورت تابعی از زمان تابش نور مرئی به محلول رنگی دربردارنده نانوذرات و اندادات بیسیموت.



شکل ۷ میزان تجزیه رنگ قرمز کنگو توسط نانوذرات و اندادات بیسیموت.

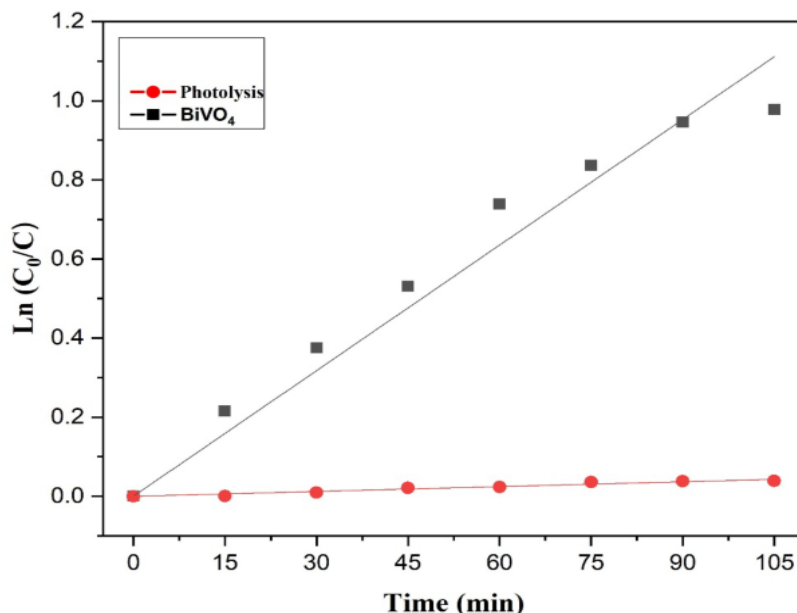
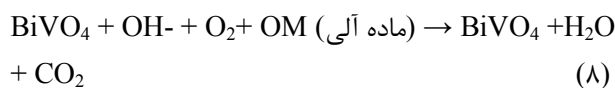
از مرجع [۲۸] بهبود یافته است و با نتیجه مرجع [۲۷] تفاوت چندانی ندارد.

نانوذرات و اندادات بیسیموت با فاز تکمیل وقتی به همراه آلینده‌های آلی (رنگ) در معرض تابش نور مرئی قرار می‌گیرند، تابش را جذب کرده و در نتیجه گذار الکترون‌ها از نوار ظرفیت به نوار رسانش، جفت الکترون-حفره در سطح کاتالیزور ایجاد می‌شود. الکترون‌های نوار رسانش با مولکول‌های اکسیژن اندرکنش کرده و رادیکال سوپراکسید ایجاد می‌شود. حفره‌ها نیز در نوار ظرفیت، OH⁻ را به رادیکال هیدروکسیل OH⁻ تبدیل می‌کنند. به طور کلی، معادلات زیر بیانگر فعالیت فوتوکاتالیزوری و اندادات بیسیموت با مواد آلی است [۳۶]:



تفعیلات آهنگ تجزیه فوتوکاتالیزوری رنگ قرمز کنگو در شکل ۸ نشان داده شده است. خطی بودن نمودار بیانگر آن است که تجزیه رنگ قرمز کنگو توسط نانوذرات و اندادات بیسیموت با تقریب خوبی از سینتیک مرتبه اول پیروی می‌کند و ثابت آهنگ تجزیه رنگ برابر با 0.011 min^{-1} به دست آمد. در جدول ۲، نتایج فوتوکاتالیزوری این پژوهش با نتایج دیگران مقایسه شده است.

استفاده از H₂O₂ باعث افزایش رادیکال‌های آزاد OH⁻ و بهبود فعالیت فوتوکاتالیزوری می‌شود. نتایج جدول ۲ نشان می‌دهد که با وجود غلظت بالاتر رنگ، کمتر بودن توان لامپ، مقدار ماده کاتالیزور کمتر و استفاده نکردن از H₂O₂. ثابت آهنگ تجزیه رنگ در این پژوهش نسبت به دو مورد با و بدون



شکل ۸ تغییرات زمانی $\ln(C_0/C)$ برای تجزیه فتوکاتالیزوری رنگ قرمز کنگو.

جدول ۲ مقایسه نتایج فتوکاتالیزوری این پژوهش با پژوهش های دیگران در مورد تجزیه رنگ قرمز کنگو زیر تابش نور مرئی.

پژوهش	مقدار ماده کاتالیزور (mg)	حجم محلول (mL)	غلظت رنگ (mg L^{-1})	مدت زمان تابش نور مرئی (min)	توان لامپ (W)	ثابت آهنگ تجزیه رنگ (min^{-1})
[۲۸]	۱۰۰	۱۰۰	۵	۹۰ (H ₂ O ₂) ۱۲۰ (بدون H ₂ O ₂)	۴۰۰	2.2×10^{-4} (H ₂ O ₂) 3×10^{-4} (بدون H ₂ O ₂)
[۲۷]	۱۰۰	۲۰	۷	۶۰	۳۰۰	1.4×10^{-3}
این پژوهش	۶۰	۱۰۰	۲۰	۱۰۵	۱۰۰	1.1×10^{-3}

قدرتانی

پژوهندگان از دانشگاه شهید چمران اهواز برای حمایت از این پژوهش قدردانی می کنند.

مرجع ها

- [1] Gonçalves R.V., Wender H., Khan S., Melo M.A., "Photocatalytic Water Splitting by Suspended Semiconductor Particles", *Nanoenergy* (2018) 107-140.
- [2] Saison T., Chemin N., Chaneac C., Durupthy O., Ruaux V., Mariey L., Mauge F., Beaunier P., Jolivet JP., " Bi_2O_3 , BiVO_4 , and Bi_2WO_6 : impact of surface properties on photocatalytic activity under

برداشت

در این پژوهش، نانوذرات و انادات بیسموت (BiVO_4) به روش هم رسوی در دمای تکلیس ۶۰۰ درجه سانتی گراد ساخته شدند. نتایج XRD و FTIR نشانگر فاز تکمیل و انادات بیسموت بودند. بررسی طیف UV-Vis، گاف اپتیکی ۲/۲ الکترون ولت را در گستره نور مرئی نشان داد. بررسی فعالیت فتوکاتالیزوری نانوذرات و انادات بیسموت در تجزیه رنگ قرمز کنگو نشان داد که این ماده گزینه مناسبی برای استفاده فتوکاتالیزوری و تجزیه مواد آلی با استفاده از نور خورشید است.

- [8] Deebasree J.P., Maheskumar V., Vidhya B., "Investigation of the visible light photocatalytic activity of BiVO_4 prepared by sol gel method assisted by ultrasonication", Ultrasonics Sonochemistry 45 (2018) 123-132.
- [9] Liu X., Li j.k., "Effect of pH on the Properties of BiVO_4 by Hydrothermal Synthesis Method" Solid State Phenomena 281 (2018) 813-818.
- [10] Huo R., Yang X.L., Liu Y.Q., Xu Y.H., "Visible-light photocatalytic degradation of glyphosate over BiVO_4 prepared by different coprecipitation methods", Materials Research Bulletin 88(2017) 56-61.
- [11] Nagabhushana G.P., Nagaraju G., Chandrappa G.T., "Synthesis of bismuth vanadate: its application in H_2 evolution and sunlight-driven photodegradation", Journal of Materials Chemistry A 1 (2013) 388-394.
- [12] Manjunatha A.S., Pavithra N.S., Marappa S., Prashanth S.A., Nagaraju G., "Green Synthesis of Flower-Like BiVO_4 Nanoparticles by Solution Combustion Method Using Lemon (*Citrus Limon*) Juice as a Fuel: Photocatalytic and Electrochemical Study", Chemistry Select 3 (2018) 13456-13463.
- [13] Chen Q., Zhou M., Ma D., Jing D., "Effect of preparation parameters on photoactivity of BiVO_4 by hydrothermal method", Journal of Nanomaterials 2012 (2012) 1-6.
- [14] Li H., Liu G., Duan X., "Monoclinic BiVO_4 with regular morphologies: hydrothermal synthesis, characterization and photocatalytic properties", Materials Chemistry and Physics 115(2009) 9-13.
- [15] Hu Y., Fan J., Pu C., Li H., Liu E., Hu X., "Facile synthesis of double cone-shaped $\text{Ag}_4\text{V}_2\text{O}_7/\text{BiVO}_4$ nanocomposites with enhanced visible light photocatalytic activity for environmental purification", Journal of Photochemistry and Photobiology A 337 (2017) 172-183.
- [16] Jiang H.Q., Endo H., Natori H., Nagai M., Kobayashi K., "Fabrication and photoactivities of spherical-shaped BiVO_4 photocatalysts through visible light", The Journal of Physical Chemistry C 115 (2011) 5657-5666.
- [3] Dabodiya T.S., Selvarasu P., Murugan A.V., "Tetragonal to Monoclinic Crystalline Phases Change of BiVO_4 via Microwave-Hydrothermal Reaction: In Correlation with Visible Light-Driven Photocatalytic Performance", Inorganic Chemistry 58 (2019) 5096-5110.
- [4] Kudo A., Omori K., Kato H., "A novel aqueous process for preparation of crystal form-controlled and highly crystalline BiVO_4 powder from layered vanadates at room temperature and its photocatalytic and photophysical properties", Journal of the American Chemical Society 121(1999) 11459-11467.
- [5] Pookmanee P., Kojinok S., Phanichphant S., "Bismuth Vanadate (BiVO_4) Powder Prepared by the Sol-gel Method", Journal of Metals, Materials and Minerals 22 (2012) 49-53.
- [6] Malathi A., Madhavan J., Ashokkumar M., Arunachalam P., "A review on BiVO_4 photocatalyst: Activity enhancement methods for solar photocatalytic applications", Applied Catalysis A 555 (2018) 47-74.
- [7] Wang W., Yu Y., An T., Li G., Yip H.Y., Yu J.C., Wong P.K., "Visible-light-driven photocatalytic inactivation of *E. coli* K-12 by bismuth vanadate nanotubes: Bactericidal performance and mechanism", Environmental Science & Technology 46 (2012) 4599-4606.

- [24] Appavu B., Thiripuranthagan S., Ranganathan S., Erusappan E., Kannan K., " *$\text{BiVO}_4/N-r\text{GO}$ nano composites as highly efficient visible active photocatalyst for the degradation of dyes and antibiotics in eco system* ", Ecotoxicology and Environmental Safety 151 (2018) 118-126.
- [25] Zeng Q., Li J., Li L., Bai J., Xia L., Zhou B., " *Synthesis of $\text{WO}_3/\text{BiVO}_4$ photoanode using a reaction of bismuth nitrate with peroxovanadate on WO_3 film for efficient photoelectrocatalytic water splitting and organic pollutant degradation* ", Applied Catalysis B: Environmental 217 (2017) 21-29.
- [26] Deshpande N.G., Ahn C.H., Koli R.R., Jamadar A.S., Kim D.S., KimY.B., Jung S.H., Cho H.K., " *Controlled nanostructured morphology of BiVO_4 photoanodes for efficient on-demand catalysis in solar water-splitting and sustainable water-treatment* ", Applied Surface Science 514 (2020) 146075.
- [27] Madhusudan P., Kumar M.V., Ishigaki T., Toda K., Uematsu K., Sato M., " *Hydrothermal synthesis of meso/macroporous BiVO_4 hierarchical particles and their photocatalytic degradation properties under visible light irradiation* ", Environmental Science and Pollution Research 20 (2013) 6638-6645.
- [28] Umabala A.M., Suresh P., Prasada Rao A.V., " *Effective Visible Light Photocatalytic Degradation of Congo Red and Fast Sulphon Black F Using H_2O_2 Sensitized BiVO_4* ", Journal of Applicable Chemistry 5 (2016) 248-254.
- [29] Golmojdeh H., Zanjanchi M.A., " *A facile approach for synthesis of BiVO_4 nano-particles possessing high surface area and various morphologies* ", Crystal Research and Technology 47 (2012) 1014-1025.
- [30] Venkatesan R., Velumani S., Kassiba A., " *Mechanochemical synthesis of nanostructured BiVO_4 and investigations of related features* ", Materials Chemistry and Physics 135 (2012) 842-848.
- [31] Obregon S., Colon G., " *On the different photocatalytic performance of BiVO_4 catalysts for solution combustion synthesis method*" , Journal of the European Ceramic Society 28 (2008) 2955-2962.
- [17] He W., Zhang X., Dong X., Zhang X., Ma C., Ma H., " *Preparation of Mesoporous BiVO_4 for Efficient Photocatalytic Degradation of RhB under Illuminated Visible Light*" , Journal of Advanced Oxidation Technologies 17 (2014) 33-38.
- [18] Ran R., McEvoy J.G., Zhang Z., " *Synthesis and Optimization of Visible Light Active BiVO_4 Photocatalysts for the Degradation of RhB*" , Research Article 2015 (2015) 1-14.
- [19] Severo E.C., Dotto G.L., Cruz A.M., Cuellar E.L., Foletto E.L., " *Enhanced photocatalytic activity of BiVO_4 powders synthesized in presence of EDTA for the decolorization of rhodamine B from aqueous solution*" , Environmental Science and Pollution Research 25 (2018) 34123-34130.
- [20] Nazemzadegan M.R., Ghasempour R., Yousefi H., " *Hydrothermally in-situ Deposited BiVO_4 Crystals Via a Seed-free Approach and its Application in Water Treatment and Hydrogen Generation*" , Iranian Journal of Eco Hydrology 5 (2018) 1355-1369.
- [21] Azemayesh R., Naghshara H., Ghafouri M., " *The effect of calcination time on the morphology and efficiency of BiVO_4 films in order to use as solar decomposition of water* ", Journal of Research on Many - body Systems 9 (2019) 143-150.
- [22] Rahimi B., Ebrahimi A., Mansouri N., Hosseini N., " *Photodegradation process for the removal of acid orange 10 using titanium dioxide and bismuth vanadate from aqueous solution* ", Global Journal of Environmental Science and Management 5 (2019) 43-60.
- [23] Van C.N., Chang W.S., Chen J.W., Tsai K.A., Tzeng W.Y., Lin Y.C., Kuo H.H., Liu H.J., Chang K.D., Chou W.C., Wu C.L., Chen Y.C., Luo C.W., Hsu Y.J., Chu Y.H., " *Heteroepitaxial approach to explore charge dynamics across Au/BiVO_4 interface for photoactivity enhancement* ", Nano Energy 15 (2015) 625-633.

- [34] Nguyen V.H., Bui Q.T.P., Vo D.V.N., Lim K.T., Bach L.G., Do S.T., Nguyen T.V., Doan V.D., Nguyen T.D., Nguyen T.D., "Effective Photocatalytic Activity of Sulfate-Modified BiVO_4 for the Decomposition of Methylene Blue Under LED Visible Light", Materials 12 (2019) 1-19.
- [35] Lade H., Govindwar S., Paul D., "Mineralization and Detoxification of the Carcinogenic Azo Dye Congo Red and Real Textile Effluent by a Polyurethane Foam Immobilized Microbial Consortium in an Upflow Column Bioreactor", Environmental Research and Public Health 12 (2015) 6894-6918.
- [36] Liu S., Zhou H., Dai G., Wang W., Photocatalytic performance of sandwich-like BiVO_4 sheets by microwave assisted synthesis", Applied Surface Science 391(2017) 542-547.

- methylene blue and rhodamine B degradation*", Journal of Molecular Catalysis A: Chemical 376 (2013) 40-47.
- [32] Brack P., Sagu J.S., Peiris T.A.N., McInnes A., Senili M., Wijayantha K.G.U., Marken F., Sellie E., "Aerosol-Assisted CVD of Bismuth Vanadate Thin Films and Their Photoelectrochemical Properties", Chemical Vapor Deposition 21 (2015) 41-45.
- [33] Pham P.T.D., Bui P.Q.T, Nong L.X., Nguyen V.H., Bach L.G., Vu H.T., Nguyen H.T., Nguyen T.D., " Synthesis of the BiVO_4 nanoparticle as an efficient photocatalyst to activate hydrogen peroxide for the degradation of methylene blue under visible light irradiation ", IOP Conf. Series: Materials Science and Engineering 479 (2019) 012036.